

**PREDIKSI BENCANA ALAM ANGIN PUTING
BELIUNG DI WILAYAH CILACAP JAWA TENGAH
DENGAN MENGGUNAKAN *ADAPTIVE
NEIGHBORHOOD MODIFIED BACKPROPAGATION*
(ANMBP)**

SKRIPSI

**Diajukan untuk Memenuhi Salah Satu Persyaratan dalam Memperoleh
Gelar Sarjana Matematika (S.Mat)**



**UIN SUNAN AMPEL
S U R A B A Y A**

**OLEH:
FITRIA FEBRIANTI
NIM.H72214015**

**PROGRAM STUDI MATEMATIKA
JURUSAN SAINS
FAKULTAS SAINS DAN TEKNOLOGI
UNIVERSITAS ISLAM NEGERI SUNAN AMPEL SURABAYA
2018**

PERNYATAAN KEASLIAN

Yang bertandatangan dibawah ini:

Nama : Fitria Febrianti

NIM : H72214015

Program Studi : Matematika

Angkatan : 2014

Menyatakan bahwa saya tidak melakukan plagiat dalam penulisan skripsi saya yang berjudul: **Prediksi Bencana Alam Angin Puting Beliung Di Wilayah Cilacap Jawa Tengah Dengan Menggunakan *Adaptive Neighborhood Modified Backpropagation* (ANMBP)**. Apabila suatu saat nanti terbukti saya melakukan tindakan plagiat, maka saya akan menerima sanksi yang telah ditetapkan. Demikian pernyataan keaslian ini saya buat dengan sebenar-benarnya.

Surabaya, 3 Agustus 2018

METERAI
TEMPEL
ACCESAFITISYASOM
6000
EKAMUSURIPAH
Fitria Febrianti
NIM.H72214015

LEMBAR PENGESAHAN

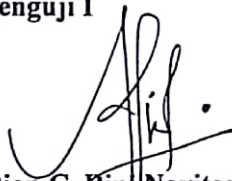
PREDIKSI BENCANA ALAM ANGIN PUTING BELIUNG DI WILAYAH
CILACAP JAWA TENGAH DENGAN MENGGUNAKAN *ADAPTIVE
NEIGHBORHOOD MODIFIED BACKPROPAGATION* (ANMBP)

Disusun oleh
Fitria Febrianti
NIM.H72214015

Telah dipertahankan di depan Dewan Penguji
Pada tanggal 18 Juli 2018
Dan dinyatakan telah memenuhi syarat
untuk memperoleh gelar
Sarjana Matematika (S.Mat)

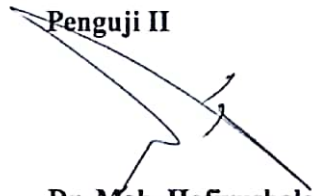
Dewan Penguji

Penguji I



Dian C. Rini Novitasari, M.Kom
NIP.198511242014032001

Penguji II



Dr. Moh. Hafiyusholeh, S.Si, M.Si, M.PMat
NIP.198002042014031001

Penguji III



Putroe Keumala Intan, M.Si
NIP.198805282018012001

Penguji IV



Wika Dianita Utami, M.Sc
NIP.199206102018012003

Mengesahkan
Dekan Fakultas Sains dan Teknologi
UIN Sunan Ampel Surabaya



Dr. Eni Purwati, M.Ag
NIP.196512211990022001



KEMENTERIAN AGAMA
UNIVERSITAS ISLAM NEGERI SUNAN AMPEL SURABAYA
PERPUSTAKAAN

Jl. Jend. A. Yani 117 Surabaya 60237 Telp. 031-8431972 Fax.031-8413300
E-Mail: perpus@uinsby.ac.id

LEMBAR PERNYATAAN PERSETUJUAN PUBLIKASI
KARYA ILMIAH UNTUK KEPENTINGAN AKADEMIS

Sebagai sivitas akademika UIN Sunan Ampel Surabaya, yang bertanda tangan di bawah ini, saya:

Nama : Fitria Febrianti
NIM : H72214015
Fakultas/Jurusan : Saintek / Matematika
E-mail address : fitriafebrianti003@gmail.com

Demi pengembangan ilmu pengetahuan, menyetujui untuk memberikan kepada Perpustakaan UIN Sunan Ampel Surabaya, Hak Bebas Royalti Non-Eksklusif atas karya ilmiah :

Sekripsi Tesis Desertasi Lain-lain (.....)

yang berjudul :

Prediksi Bencana Alam Angin Puting Beliuang di Wilayah
Cilacap Jawa Tengah dengan menggunakan Adaptive
Neighborhood Modified Backpropagation (ANMBP)

beserta perangkat yang diperlukan (bila ada). Dengan Hak Bebas Royalti Non-Eksklusif ini Perpustakaan UIN Sunan Ampel Surabaya berhak menyimpan, mengalih-media/format-kan, mengelolanya dalam bentuk pangkalan data (database), mendistribusikannya, dan menampilkan/mempublikasikannya di Internet atau media lain secara *fulltext* untuk kepentingan akademis tanpa perlu meminta ijin dari saya selama tetap mencantumkan nama saya sebagai penulis/pencipta dan atau penerbit yang bersangkutan.

Saya bersedia untuk menanggung secara pribadi, tanpa melibatkan pihak Perpustakaan UIN Sunan Ampel Surabaya, segala bentuk tuntutan hukum yang timbul atas pelanggaran Hak Cipta dalam karya ilmiah saya ini.

Demikian pernyataan ini yang saya buat dengan sebenarnya.

Surabaya, 31 Juli 2018

Penulis


(FITRIA FEBRIANTI)

adalah angin kencang yang berputar yang keluar dari awan *cummulonimbus* dengan kecepatan lebih dari 34,8 knots atau 64,4 km/jam dan terjadi dalam waktu yang singkat.

Sebagian besar wilayah di Indonesia rawan terjadi bencana alam angin puting beliung. Dalam kurun waktu sepuluh tahun terakhir, provinsi Jawa Tengah memiliki angka kejadian angin puting beliung paling besar jika dibandingkan dengan provinsi-provinsi lainnya di Indonesia yaitu sebesar 1281 kejadian dan kabupaten di Jawa Tengah yang memiliki angka kejadian angin puting beliung paling besar adalah Cilacap yaitu sebesar 202 kejadian (BNPB, 2018). Dan dalam sepanjang tahun 2017, provinsi Jawa Tengah memiliki angka kejadian angin puting beliung sebesar 209 kejadian dan kabupaten Cilacap memiliki angka kejadian angin puting beliung sebesar 27 kejadian.

Angin puting beliung merupakan salah satu bencana alam yang sangat berbahaya. Hal ini dikarenakan angin puting beliung dapat menghancurkan apa saja yang dilewatinya, dan juga benda-benda yang terbawa oleh angin puting beliung dapat terangkat dan terlempar begitu saja. Kerusakan yang diakibatkan oleh angin puting beliung yang cukup besar seperti rusaknya rumah-rumah warga, pohon tumbang, dan kerusakan alat transportasi dapat menimbulkan kerugian yang cukup besar. Sepanjang tahun 2017, bencana angin puting beliung yang melanda provinsi Jawa Tengah mengakibatkan kerugian yang sangat besar yaitu 8 orang meninggal, 641 orang mengungsi, 274 rumah rusak berat, 717 rumah rusak sedang, 4049 rumah rusak ringan, 23 fasilitas pendidikan rusak, 8 fasilitas peribadatan rusak, dan 4 fasilitas kesehatan rusak (BNPB, 2018).

Kerugian yang diakibatkan oleh bencana alam angin puting beliung dapat diminimalisir dengan memprediksi datangnya angin puting beliung. Untuk memprediksi dilakukan klasifikasi pada nilai parameter yang diperoleh dari pengamatan udara atas. Salah satu metode yang dapat digunakan untuk klasifikasi adalah ANMBP (*Adaptive Neighborhood Modified Backpropagation*).

Adaptive Neighborhood Modified Backpropagation (ANMBP) merupakan perkembangan dari metode klasifikasi *backpropagation*. *Backpropagation* merupakan salah satu algoritma pada jaringan syaraf tiruan yang digunakan untuk mencari nilai bobot optimal (Putra, Gandhiadi, & Harini, 2016). Pada algoritma *backpropagation* terdapat pola masukan dan keluaran yang diinginkan, ketika jaringan diberikan sebuah pola maka nilai bobot akan diubah agar dapat memperkecil perbedaan pola keluaran dari jaringan dan pola keluaran yang diinginkan (*error*). ANMBP menggabungkan nilai *error* linier dan nilai *error* nonlinier, *neighborhood*, dan *adaptive learning rate* pada *backpropagation* (Novitasari, 2015).

Beberapa penelitian yang menggunakan ANMBP sebagai metode klasifikasi antara lain yaitu pengklasifikasikan sinyal EEG yang berdasar pada kondisi normal dan epilepsi dengan menggunakan metode *fuzzy c-means* dan ANMBP sehingga didapatkan nilai akurasi sebesar 74,37% (Novitasari, 2015), pengklasifikasikan data *mammogram* dengan menggunakan transformasi *wavelet* dan ANMBP untuk mendeteksi kanker payudara sehingga didapatkan nilai *error* sebesar 0,00096204 (Werdiningsih, 2014), serta pengklasifikasikan MRI otak dengan menggunakan

Tabel 2.2 Pedoman prakiraan LI (Holton, 2004)

Nilai index	Prakiraan
0 sampai -2	kemungkinan terjadi petir
-2 sampai -5	kondisi tidak stabil dan kemungkinan terjadi badai petir
$LI < -5$	kondisi sangat tidak stabil dan kemungkinan terjadi badai petir besar

3. K Index (KI)

Index parameter *k-index* mengukur potensi adanya badai berdasarkan tingkat selang suhu vertikal, kadar air dari atmosfer yang lebih rendah, dan tingkat vertikal lapisan lembab. Index parameter *k-index* baik digunakan untuk memperkirakan adanya badai petir. Berikut adalah pedoman prakiraan (*forecast guidelines*) index parameter KI:

Tabel 2.3 Pedoman prakiraan KI (Holton, 2004)

Nilai index	Prakiraan
$KI < 15$	Kemungkinan 0% terjadi badai petir
15 – 20	Kemungkinan < 20% terjadi badai petir
21 – 25	Kemungkinan 20% – 40% terjadi badai petir
26 – 30	Kemungkinan 40% – 60% terjadi badai petir
31 – 35	Kemungkinan 60% – 80% terjadi badai petir
36 – 40	Kemungkinan 80% – 90% terjadi badai petir
$KI > 40$	Kemungkinan > 90% terjadi badai petir

4. Total Totals (TT)

Index parameter *total totals* (TT) mengidentifikasi area pengembangan potensi badai petir berdasarkan tingkat selang suhu diketinggian antara 850 mb

C. Backpropagation

Algoritma *backpropagation* merupakan salah satu metode pelatihan yang terawasi pada jaringan syaraf tiruan. Algoritma *backpropagation* merupakan algoritma yang memperkecil nilai *error* dengan menyesuaikan bobot berdasarkan perbedaan pola keluaran dari jaringan dan pola keluaran dari target. *Backpropagation* melatih jaringan untuk mendapatkan keseimbangan antara kemampuan jaringan untuk mengenali pola yang digunakan selama pelatihan dan kemampuan jaringan untuk memberikan respon yang benar terhadap pola masukan yang serupa dengan pola yang dipakai selama pelatihan (Siang, 2005).

1. Arsitektur Backpropagation

Arsitektur algoritma *backpropagation* terdiri dari tiga lapisan, yaitu lapisan masukan (*input layer*), lapisan tersembunyi (*hidden layer*), dan lapisan keluaran (*output layer*). Gambar 2.4 menunjukkan arsitektur algoritma *backpropagation*, dimana pada lapisan masukan terjadi pengiriman bobot masukan x ke lapisan tersembunyi. v_{ji} merupakan bobot dari unit masukan x_i ke unit lapisan tersembunyi z_j .

$$e_{2j}^L = f^1(u_j^L) \sum_{r=1}^{n_{L+1}} e_{2r}^{L+1} w_{rj}^{L+1} \quad (2.23)$$

Sehingga untuk mendapatkan nilai perubahan bobot pada lapisan tersembunyi (*hidden layer*) menggunakan persamaan berikut,

$$\Delta w_{ji}^L = \mu e_{1j}^L y_i^{L-1} f'(u_j^L) + \mu \lambda e_{2j}^L y_i^{L-1} \quad (2.24)$$

Parameter *learning* μ dan $\mu\lambda$ diganti dengan parameter *adaptive* (2.22) berikut,

$$\eta' = \frac{\mu \|y\|^2}{\|J_p y\|^2 + \varepsilon} \quad (2.25)$$

$$\mu' = \frac{\lambda \|y\|^2}{\|J_p y\|^2 + \varepsilon} \quad (2.26)$$

dimana $e_{1j}^s = d_j^s - y_j^s$ dan $J_p^T = \frac{\partial y_p}{\partial w_{ji}}$, sehingga parameter *adaptive learning* menjadi persamaan berikut,

$$\eta' = \frac{\mu \|e_{1j}\|^2}{\|f'(u_j) y_j^{s-1} e_{1j}\|^2 + \varepsilon} \quad (2.27)$$

$$\mu' = \frac{\lambda \|e_{1j}\|^2}{\|f'(u_j) y_j^{s-1} e_{1j}\|^2 + \varepsilon} \quad (2.28)$$

dimana μ dan λ adalah konstanta dengan nilai kecil positif dan ε adalah konstanta dengan nilai kecil positif yang digunakan untuk menjamin ketidakstabilan ketika nilai *error* menuju 0. Sehingga perubahan bobot pada lapisan keluaran (*output layer*) dan lapisan tersembunyi (*hidden layer*) menjadi persamaan berikut,

$$\Delta w_{ji}^s = \eta' e_{1j}^s f'(u_j^s) y_j^{s-1} + \mu' e_{2j}^s y_j^{s-1} \quad (2.29)$$

dengan perubahan bobot tersebut, maka perubahan bobot baru dihitung dengan menggunakan persamaan berikut,

$$w(t+1) = w(t) + \Delta w(t) \quad (2.30)$$

1. Pre-processing data

Tahap *pre-processing* data merupakan tahap pertama dari penelitian ini. Pada tahap ini peneliti menentukan data masukan, pada penelitian ini data masukan berupa data LI (*Lifted Index*), SWEAT (*Severe Weather Threat Index*), CAPE (*Convective Available Potential Energy*), KI (*K Index*), CIN (*Convective Inhibition*), TT (*Total Totals*), SI (*Showalter Index*), dan waktu kejadian angin puting beliung. Selanjutnya data melalui tahap analisis, yaitu data parameter udara atas dan data kejadian bencana diurutkan sehingga data parameter udara atas menjadi masukan dan data kejadian bencana menjadi keluaran target dan setelah data diurutkan dan dikelompokkan selanjutnya data dinormalisasi sehingga data memiliki *range* antara 0 dan 1. Setelah data dinormalisasi, data diolah dengan menggunakan PCA untuk mereduksi variabel masukan dalam proses klasifikasi. Selanjutnya, data hasil reduksi dibagi menjadi dua yaitu data *testing* dan data *training*. Dimana data *training* digunakan untuk melatih pola klasifikasi jaringan dan data *testing* digunakan untuk menguji sistem klasifikasi.

2. Proses Prediksi

Setelah melalui tahap *preprocessing data*, langkah selanjutnya adalah proses klasifikasi. Pada penelitian ini menggunakan metode *Adaptive Neighborhood Modified Backpropagation* (ANMBP) sebagai metode klasifikasi. Berikut adalah alur proses klasifikasi menggunakan metode ANMBP,

secara acak, dan menentukan *neighborhood*. Selanjutnya, memilih *neighborhood* yang akan digunakan dalam proses klasifikasi secara acak dan memilih pola pelatihan yang akan digunakan jaringan untuk proses klasifikasi. Lalu menghitung nilai jaringan / nilai net pada setiap *node* di lapisan tersembunyi (*hidden layer*) dengan menggunakan Persamaan 2.14 dan menghitung nilai keluaran dengan menggunakan Persamaan 2.15 pada lapisan tersembunyi. Selanjutnya pada lapisan keluaran (*output layer*) hitung nilai net dengan menggunakan Persamaan 2.14 dan hitung nilai keluaran dengan menggunakan Persamaan 2.15, serta menghitung nilai *error linier* dengan menggunakan Persamaan 2.17, menghitung nilai *error nonlinier* dengan menggunakan Persamaan 2.18, dan merubah bobot dengan menggunakan Persamaan 2.27, 2.28, dan 2.29. Selanjutnya, pada lapisan tersembunyi (*hidden layer*) hitung estimasi nilai *error nonlinier* dengan menggunakan Persamaan 2.22 dan hitung nilai *error linier* dengan menggunakan Persamaan 2.23, serta gunakan Persamaan 2.27, 2.28, dan 2.29 untuk merubah bobot pada *neighborhood* yang telah ditentukan. Ulangi langkah-langkah tersebut untuk semua pola. Evaluasi nilai *error* jaringan dengan bobot yang baru. Jika kondisi terakhir telah terpenuhi maka hentikan proses perulangan, akan tetapi jika kondisi berhenti belum terpenuhi maka ulangi langkah-langkah yang telah disebutkan sampai kondisi berhenti terpenuhi.

Tabel 4.11 Matriks korelasi tiap variabel masukan

		SI	LI	SWEAT	KI	TT	CAPE	CIN
Correlation	SI	1,000	,689	-,677	-,712	-,970	-,392	,050
	LI	,689	1,000	-,333	-,633	-,713	-,777	-,218
	SWEAT	-,677	-,333	1,000	,616	,565	,199	,064
	KI	-,712	-,633	,616	1,000	,617	,423	-,039
	TT	-,970	-,713	,565	,617	1,000	,362	-,107
	CAPE	-,392	-,777	,199	,423	,362	1,000	,293
	CIN	,050	-,218	,064	-,039	-,107	,293	1,000

Selanjutnya pada proses reduksi, hal pertama yang dilakukan adalah dengan melakukan uji KMO dan *Barlett Test* pada data masukan untuk mengetahui ketepatan data menggunakan PCA dalam melakukan proses reduksi. Hasil dari uji KMO dan *Barlett Test* direpresentasikan pada Tabel 4.11 berikut. Pada Tabel 4.12 menunjukkan nilai signifikansi sebesar 0,761 yang memiliki arti data masukan telah memenuhi syarat untuk melakukan reduksi variabel menggunakan PCA yaitu nilai $KMO \geq 0,5$.

Tabel 4.12 Uji KMO dan *Barnett Test*

Kaiser-Meyer-Olkin Measure of Sampling Adequacy.		,761
Bartlett's Test of Sphericity	Approx. Chi-Square	5134,720
	df	21
	Sig.	,000

Selanjutnya, dilakukan perhitungan nilai korelasi dari setiap variabel dan di bentuk dalam sebuah matriks korelasi. Dari matriks korelasi ini akan ditunjukkan nilai eigen yang dimiliki dari setiap variabel masukan dan jumlah variabel yang dapat dibentuk dengan menggunakan PCA didasarkan pada nilai eigen lebih dari satu yang ditunjukkan pada Tabel 4.13 berikut,

Tabel 4.13 Nilai eigen variabel

Component	Initial Eigenvalues		
	Total	% of Variance	Cumulative %
1	3,311	47,306	47,306
2	1,208	17,261	64,567
3	,975	13,932	78,498
4	,699	9,980	88,478
5	,401	5,728	94,206
6	,323	4,613	98,819
7	,083	1,181	100,000

Pada Tabel 4.13 menunjukkan terdapat dua komponen yang memiliki nilai eigen lebih besar sama dengan 1, yaitu 3,311 dengan nilai varians sebesar 47,3% dan 1,208 dengan nilai varians sebesar 17,26%. Hal ini menunjukkan variabel masukan dapat dikategorikan menjadi dua variabel komponen utama. Selanjutnya untuk mengetahui variabel yang akan direduksi, maka akan dilakukan rotasi faktor (transformasi) dengan menggunakan metodologi rotasi faktor varimax. Sehingga diperoleh hasil berikut,

Tabel 4.14 Rotasi faktor menggunakan metodologi varimax

	Component	
	1	2
SI	-,930	,241
LI	-,857	-,354
SWEAT	,695	-,277
KI	,826	-,135
TT	,890	-,250
CAPE	,630	,606
CIN	,082	,802

Pada Tabel 4.14 menunjukkan hubungan antara variabel asli dengan variabel komponen utama yang dibentuk oleh PCA dan disebut dengan nilai *loading*. Nilai *loading* yang dipilih adalah nilai yang lebih dari 0,5; dimana nilai ini

$$\begin{aligned}
& + \left(\left(\frac{1}{1 + e^{12,6}} \right) \times \left(1 - \frac{1}{1 + e^{12,6}} \right) \times (-0,571) \times (-0,1) \right) \\
& = 2,22 \times 10^{-7} \\
e_2^L & = \left(\frac{1}{1 + e^{-0,29}} \right) \times \left(1 - \frac{1}{1 + e^{-0,29}} \right) \\
& \times [(0,06 \times 0,4) + (0,06 \times (-0,2)) + (0,06 \times 0,1) + (0,06 \times (-0,3))] \\
& + (0,06 \times 0,1) + (0,06 \times (-0,1)) + (0,06 \times (-0,1)) \\
& = -0,00146
\end{aligned}$$

Ubah bobot tiap *node* yang menjadi *neighborhood* dengan menggunakan Persamaan 2.27, 2.28 , dan 2.29, sehingga diperoleh

$$\begin{aligned}
\eta' & = \frac{0,1 \times |2,22 \times 10^{-7}|^2}{\left| \left(\frac{1}{1 + e^{-0,29}} \right) \left(1 - \frac{1}{1 + e^{-0,29}} \right) (0,571)(2,22 \times 10^{-7}) \right|^2 + 0,3} \\
& = 1,64 \times 10^{-14}
\end{aligned}$$

$$\begin{aligned}
\mu' & = \frac{0,2 \times |2,22 \times 10^{-7}|^2}{\left| \left(\frac{1}{1 + e^{-0,29}} \right) \left(1 - \frac{1}{1 + e^{-0,29}} \right) (0,571)(2,22 \times 10^{-7}) \right|^2 + 0,3} \\
& = 3,28 \times 10^{-14}
\end{aligned}$$

$$\begin{aligned}
\Delta w_{1,6} & = \left((1,64 \times 10^{-14}) \times (2,22 \times 10^{-7}) \times 1 \times \left(\frac{1}{1 + e^{-152,9}} \right) \right) \\
& \times \left(1 - \frac{1}{1 + e^{-152,9}} \right) + ((3,28 \times 10^{-14}) \times (-0,00146) \times 1) \\
& = -4,78 \times 10^{-17}
\end{aligned}$$

$$\begin{aligned}
\Delta w_{2,4} & = \left((1,64 \times 10^{-14}) \times (2,22 \times 10^{-7}) \times (2,31 \times 10^{-7}) \times \left(\frac{1}{1 + e^{15,27}} \right) \right) \\
& \times \left(1 - \frac{1}{1 + e^{15,27}} \right) + ((3,28 \times 10^{-14}) \times (-0,00146) \times (2,31 \times 10^{-7})) \\
& = -1,16 \times 10^{-23}
\end{aligned}$$

$$\Delta w_{3,2} = \left((1,64 \times 10^{-14}) \times (2,22 \times 10^{-7}) \times 1 \times \left(\frac{1}{1 + e^{-52,07}} \right) \right)$$

Pada Tabel 4.17 menunjukkan perubahan bobot yang menjadi *neighborhood* dengan menambahkan nilai bobot awal dengan nilai perubahan bobot yang telah dihitung pada fase maju dan fase mundur. Keseluruhan proses dilakukan berulang pada setiap data masukan hingga memperoleh nilai MSE yang diinputkan.

2. Prediksi Puting Beliung menggunakan ANMBP

Pada penelitian ini, proses prediksi bencana angin puting beliung menggunakan ANMBP tidak dihitung secara manual akan tetapi proses prediksi dibantu dengan menggunakan aplikasi MATLAB untuk membantu proses perhitungan. Untuk mengoptimalkan hasil prediksi dengan menggunakan ANMBP dalam proses pelatihan, peneliti menggunakan dua *hidden layer* dengan nilai yang berbeda-beda, nilai *learning rate* antara 0,1 sampai 0,5; dan membagi data pelatihan dan data pengujian menjadi tiga pola yang berbeda yaitu 60% data *training* dan 40% data *testing*, 70% data *training* dan 30% data *testing*, dan 80% data *training* dan 20% data *testing* (Hota, Shrivastava, & Singhai, 2013).

Pada Tabel 4.18 menunjukkan hasil prediksi dengan menggunakan data pelatihan sebanyak 60% (874 data), data pelatihan sebanyak 40% (583 data), *hidden layer-1* sebanyak 30, *hidden layer-2* sebanyak 15, dan *learning rate* dari 0,1 sampai dengan 0,5, serta dengan jumlah *epoch* sebanyak 3000 iterasi menghasilkan MSE dan akurasi untuk *learning rate* 0,1 adalah 0,0009 dan 85,42% dengan jumlah terprediksi benar sebanyak 498 data dan membutuhkan waktu pelatihan selama 4362 detik. Untuk *learning rate* 0,2 menghasilkan nilai MSE dan akurasi sebesar 0,0008 dan 85,42% dengan jumlah terprediksi benar sebanyak 498 data dan

Berdasarkan analisa yang sama maka didapatkan pada *hidden layer-1* sebanyak 30, *hidden layer-2* sebanyak 15, yang memiliki nilai akurasi terbaik dan MSE terkecil yaitu 85,42 % dan 0,0003 adalah dengan menggunakan *learning rate* 0,3 dengan jumlah kejadian terprediksi benar sebanyak 498 kejadian dari 583 kejadian. Pada *hidden layer-1* sebanyak 50, *hidden layer-2* sebanyak 35, yang memiliki nilai akurasi terbaik dan MSE terkecil yaitu 85,59 % dan 0,0007 adalah dengan menggunakan *learning rate* 0,1 dengan jumlah kejadian terprediksi benar sebanyak 499 kejadian dari 583 kejadian. Pada *hidden layer-1* sebanyak 70, *hidden layer-2* sebanyak 55, yang memiliki nilai akurasi terbaik dan MSE terkecil yaitu 85,42 % dan 0,0005 adalah dengan menggunakan *learning rate* 0,1 dengan jumlah kejadian terprediksi benar sebanyak 498 kejadian dari 583 kejadian. Pada *hidden layer-1* sebanyak 90, *hidden layer-2* sebanyak 75, yang memiliki nilai akurasi terbaik dan MSE terkecil yaitu 85,07 % dan 0,00009 adalah dengan menggunakan *learning rate* 0,5 dengan jumlah kejadian terprediksi benar sebanyak 496 kejadian dari 583 kejadian. Pada *hidden layer-1* sebanyak 110, *hidden layer-2* sebanyak 95, yang memiliki nilai akurasi terbaik dan MSE terkecil yaitu 85,59 % dan 0,00004 adalah dengan menggunakan *learning rate* 0,5 dengan jumlah kejadian terprediksi benar sebanyak 499 kejadian dari 583 kejadian.

Pada Tabel 4.19 menunjukkan hasil prediksi dengan menggunakan data pelatihan sebanyak 70% (1020 data), data pelatihan sebanyak 30% (437 data), *hidden layer-1* sebanyak 30, *hidden layer-2* sebanyak 15, menghasilkan MSE dan akurasi untuk *learning rate* 0,1 adalah 0,0009 dan 82,15% dengan jumlah terprediksi benar sebanyak 359 data dan membutuhkan waktu pelatihan selama

Tanggal	Jam	Variabel Puting Beliung					Data asli	Data Prediksi
		SWEAT	KI	TT	CAPE	CIN		
27/07/2017	0	217,98	35,1	44,8	192,02	-0,07	tidak terjadi bencana	tidak terjadi bencana
	12	222,03	33,8	41	80,99	-14,61	tidak terjadi bencana	tidak terjadi bencana
28/07/2017	0	230,21	31,4	42	140,84	-7,25	tidak terjadi bencana	tidak terjadi bencana
	12	215,4	35,6	45	346,87	-5,13	tidak terjadi bencana	tidak terjadi bencana
29/07/2017	0	244,59	37,9	44,2	79,79	0	tidak terjadi bencana	tidak terjadi bencana
	12	232,82	35,1	41,3	29,01	-3,24	tidak terjadi bencana	tidak terjadi bencana
30/07/2017	0	210,59	33,6	42,7	243,9	-0,04	tidak terjadi bencana	tidak terjadi bencana
	12	209,79	23,7	44	106,51	-1,33	tidak terjadi bencana	tidak terjadi bencana
31/07/2017	0	189,19	19,6	40,5	144,54	-0,48	Terjadibencana	tidak terjadi bencana
	12	155,61	0,5	36,4	18,23	-4,37	Terjadibencana	tidak terjadi bencana
01/08/2017	0	168,99	-7,6	33,9	52,13	-6,61	tidak terjadi bencana	tidak terjadi bencana
	12	170,99	2,3	33	55,15	-1,67	tidak terjadi bencana	tidak terjadi bencana
02/08/2017	0	203,41	11,6	40,7	85,27	-0,23	tidak terjadi bencana	tidak terjadi bencana
	12	198,82	7,4	34,5	89,78	-0,35	tidak terjadi bencana	tidak terjadi bencana
03/08/2017	0	183,41	10,6	38,9	113,85	0	tidak terjadi bencana	tidak terjadi bencana
	12	182,82	-2,3	37	66,61	-0,4	tidak terjadi bencana	tidak terjadi bencana
04/08/2017	0	195,6	3,8	38,1	84,29	0	Terjadibencana	tidak terjadi bencana
	12	168,39	-0,5	36,8	29,83	-0,06	Terjadibencana	tidak terjadi bencana
05/08/2017	0	168,6	4	36,5	64,17	0	tidak terjadi bencana	tidak terjadi bencana
	12	167,21	0,4	35,5	33,72	0	tidak terjadi bencana	tidak terjadi bencana
06/08/2017	0	149,78	4,7	38,4	46,85	0	tidak terjadi bencana	tidak terjadi bencana
	12	193,99	9,3	38,8	15,97	0	tidak terjadi bencana	tidak terjadi bencana
07/08/2017	0	169,2	9,4	39,9	0,1	0	tidak terjadi bencana	tidak terjadi bencana
	12	207,19	10,3	43,8	3,33	-69,52	tidak terjadi bencana	tidak terjadi bencana
08/08/2017	0	193,21	29,3	40,8	44,34	0	terjadibencana	tidak terjadi bencana
	12	192,41	23,8	43,9	176,11	0	terjadibencana	tidak terjadi bencana
09/08/2017	0	166,6	22,7	39,8	53,34	-0,1	tidak terjadi bencana	tidak terjadi bencana
	12	180,6	28,2	38,7	188,96	0	tidak terjadi bencana	tidak terjadi bencana

Tanggal	Jam	Variabel Puting Beliung					Data asli	Data Prediksi
		SWEAT	KI	TT	CAPE	CIN		
10/08/2017	0	165	26,4	37,1	27,88	-0,88	tidak terjadi bencana	tidak terjadi bencana
	12	197,8	27,6	40,1	47,52	-0,5	tidak terjadi bencana	tidak terjadi bencana
11/08/2017	0	179,21	17,1	41	0	-43,38	tidak terjadi bencana	tidak terjadi bencana
	12	165,4	27	39,7	11,52	-281,14	tidak terjadi bencana	tidak terjadi bencana
12/08/2017	0	139,99	19,5	37	16,53	-0,16	tidak terjadi bencana	tidak terjadi bencana
	12	175,8	24,8	41,1	8,04	-3,48	tidak terjadi bencana	tidak terjadi bencana
13/08/2017	0	113,61	25,3	37	23,44	-1,88	tidak terjadi bencana	tidak terjadi bencana
	12	185,59	21,2	44,1	18,09	-195,13	tidak terjadi bencana	tidak terjadi bencana
14/08/2017	0	186,6	15,2	42,7	60,88	-0,17	tidak terjadi bencana	tidak terjadi bencana
	12	173,19	-5,7	38	0	0	tidak terjadi bencana	tidak terjadi bencana
15/08/2017	0	184,21	-6,8	38,9	28,81	-5,06	tidak terjadi bencana	tidak terjadi bencana
	12	126,8	-10,9	30,4	3,05	-21,33	tidak terjadi bencana	tidak terjadi bencana
16/08/2017	0	189,62	4	40,5	11,88	-6,27	tidak terjadi bencana	tidak terjadi bencana
	12	166,18	2,6	38,9	61,56	-0,6	tidak terjadi bencana	tidak terjadi bencana
17/08/2017	0	168,79	-3,7	38	1,44	-21,4	tidak terjadi bencana	tidak terjadi bencana
	12	172,01	14,6	39,1	0,49	-62,22	tidak terjadi bencana	tidak terjadi bencana
18/08/2017	0	165,4	-4,8	42,7	3,91	-3,16	tidak terjadi bencana	tidak terjadi bencana
	12	201,39	11,8	41,1	126,22	0	tidak terjadi bencana	tidak terjadi bencana
19/08/2017	0	229,01	32,5	47	407,84	0	tidak terjadi bencana	tidak terjadi bencana
	12	200,01	24,8	39,1	89,9	-0,19	tidak terjadi bencana	tidak terjadi bencana
20/08/2017	0	210	26,1	40	114,44	0	tidak terjadi bencana	tidak terjadi bencana
	12	203,8	5	41,1	20,69	-0,65	tidak terjadi bencana	tidak terjadi bencana
21/08/2017	0	159,21	7,8	38,7	113,49	0	tidak terjadi bencana	tidak terjadi bencana
	12	162,79	-4,1	37,6	32	-0,73	tidak terjadi bencana	tidak terjadi bencana
22/08/2017	0	202,42	-6,1	41,8	69,57	-0,33	tidak terjadi bencana	tidak terjadi bencana
	12	171,81	23,7	39,8	47,67	-0,47	tidak terjadi bencana	tidak terjadi bencana
23/08/2017	0	194,82	23	37,7	1,78	-0,08	tidak terjadi bencana	tidak terjadi bencana
	12	202,79	25,4	36,5	13,44	-1,71	tidak terjadi bencana	tidak terjadi bencana

Tanggal	Jam	Variabel Puting Beliung					Data asli	Data Prediksi
		SWEAT	KI	TT	CAPE	CIN		
24/08/2017	0	213,79	29,5	38,4	50,5	0	tidak terjadi bencana	tidak terjadi bencana
	12	212,2	35,4	40,6	23,46	-0,41	tidak terjadi bencana	tidak terjadi bencana
25/08/2017	0	203,99	27,7	43,4	118,21	0	tidak terjadi bencana	tidak terjadi bencana
	12	209,8	11	43,7	13,33	0	tidak terjadi bencana	tidak terjadi bencana
26/08/2017	0	199,4	29,2	41,7	322,23	-30,81	tidak terjadi bencana	tidak terjadi bencana
	12	173,4	7,8	39,5	0,11	-39,06	tidak terjadi bencana	tidak terjadi bencana
27/08/2017	0	199,4	29,2	41,7	322,23	-30,81	tidak terjadi bencana	tidak terjadi bencana
	12	161,78	2,1	38,8	46,23	0	tidak terjadi bencana	tidak terjadi bencana
28/08/2017	0	146,8	13,3	35,8	29,26	0	tidak terjadi bencana	tidak terjadi bencana
	12	189,19	35,1	42,2	59,94	-0,36	tidak terjadi bencana	tidak terjadi bencana
29/08/2017	0	202,01	33,3	44,2	75,75	-2,53	tidak terjadi bencana	tidak terjadi bencana
	12	142,02	26,9	38,8	23,91	-194,54	tidak terjadi bencana	tidak terjadi bencana
30/08/2017	0	190,39	25,2	45,5	11,16	0	tidak terjadi bencana	tidak terjadi bencana
	12	199,4	29,2	41,7	322,23	-30,81	tidak terjadi bencana	tidak terjadi bencana
31/08/2017	0	199,4	29,2	41,7	322,23	-30,81	terjadibencana	tidak terjadi bencana
	12	161,59	7,6	37,7	0,27	-27,29	terjadibencana	tidak terjadi bencana
01/09/2017	0	146,8	-2,5	36,6	20,6	-5,05	tidak terjadi bencana	tidak terjadi bencana
	12	136,8	-6,3	36,6	24,35	0	tidak terjadi bencana	tidak terjadi bencana
02/09/2017	0	164,2	8,9	35,2	25,24	-0,08	tidak terjadi bencana	tidak terjadi bencana
	12	171,19	10,6	34,3	36,92	-0,27	tidak terjadi bencana	tidak terjadi bencana
03/09/2017	0	166,98	3,8	35,7	4,14	0	tidak terjadi bencana	tidak terjadi bencana
	12	149,8	21,3	35,8	9,96	-2,26	tidak terjadi bencana	tidak terjadi bencana
04/09/2017	0	194,6	25,2	39,3	95,24	0	tidak terjadi bencana	tidak terjadi bencana
	12	199,4	29,2	41,7	322,23	-30,81	tidak terjadi bencana	tidak terjadi bencana
05/09/2017	0	171,59	20,8	40,3	69,16	0	tidak terjadi bencana	tidak terjadi bencana
	12	173,19	33,5	38,1	38,78	-14,38	tidak terjadi bencana	tidak terjadi bencana
06/09/2017	0	196,6	29,6	39	107,18	0	tidak terjadi bencana	tidak terjadi bencana
	12	172,2	26	37,9	50,09	0	tidak terjadi bencana	tidak terjadi bencana

Tanggal	Jam	Variabel Puting Beliung					Data asli	Data Prediksi
		SWEAT	KI	TT	CAPE	CIN		
07/09/2017	0	179,78	5,4	38,5	3,21	0	tidak terjadi bencana	tidak terjadi bencana
	12	183,79	23,2	41,1	1,06	0	tidak terjadi bencana	tidak terjadi bencana
08/09/2017	0	218,39	31,9	43,4	180,1	-26,65	tidak terjadi bencana	tidak terjadi bencana
	12	199,4	29,2	41,7	322,23	-30,81	tidak terjadi bencana	tidak terjadi bencana
09/09/2017	0	207,71	8,33	47,54	164,54	0	tidak terjadi bencana	tidak terjadi bencana
	12	173,21	21,4	43,7	67,5	0	tidak terjadi bencana	tidak terjadi bencana
10/09/2017	0	186,58	26,3	44,2	229,24	0	tidak terjadi bencana	tidak terjadi bencana
	12	185,19	27,6	38,5	100,34	0	tidak terjadi bencana	tidak terjadi bencana
11/09/2017	0	213,79	11,7	38	85,9	-0,21	tidak terjadi bencana	tidak terjadi bencana
	12	188,41	9,7	36,2	58,33	-1,73	tidak terjadi bencana	tidak terjadi bencana
12/09/2017	0	96,79	-4,3	29,6	7,18	-3,55	tidak terjadi bencana	tidak terjadi bencana
	12	180,01	4	35,9	57,25	-10,9	tidak terjadi bencana	tidak terjadi bencana
13/09/2017	0	178,41	18,1	36,2	17,88	-2,27	tidak terjadi bencana	tidak terjadi bencana
	12	199,38	23,5	40,6	30,74	-0,75	tidak terjadi bencana	tidak terjadi bencana
14/09/2017	0	191,99	27,7	38,4	64,01	0	tidak terjadi bencana	tidak terjadi bencana
	12	217,4	29,1	41,8	23,97	0	tidak terjadi bencana	tidak terjadi bencana
15/09/2017	0	209,6	20,6	40,1	45,21	0	tidak terjadi bencana	tidak terjadi bencana
	12	227,6	22,5	38,8	3,54	-0,08	tidak terjadi bencana	tidak terjadi bencana
16/09/2017	0	217,6	15	36,9	22,73	-12,02	tidak terjadi bencana	tidak terjadi bencana
	12	215,19	21,7	39,2	0,71	-9,08	tidak terjadi bencana	tidak terjadi bencana
17/09/2017	0	230,19	10,9	40,6	463,87	0	tidak terjadi bencana	tidak terjadi bencana
	12	185,21	25,7	38,4	50,75	-1,68	tidak terjadi bencana	tidak terjadi bencana
18/09/2017	0	196,02	33,5	41,5	64,44	0	tidak terjadi bencana	tidak terjadi bencana
	12	79	-13,5	20,2	0	0	tidak terjadi bencana	tidak terjadi bencana
19/09/2017	0	73	-15,9	15,8	1,44	-2,29	tidak terjadi bencana	tidak terjadi bencana
	12	40	-12,5	18,8	3,9	-2,43	tidak terjadi bencana	tidak terjadi bencana
20/09/2017	0	201,4	2,4	35,1	29,9	-4,55	tidak terjadi bencana	tidak terjadi bencana
	12	169,59	-8,5	33,8	0,78	-5,12	tidak terjadi bencana	tidak terjadi bencana

Tanggal	Jam	Variabel Puting Beliung					Data asli	Data Prediksi
		SWEAT	KI	TT	CAPE	CIN		
21/09/2017	0	164,18	7,7	34,6	14,19	-6,67	tidak terjadi bencana	tidak terjadi bencana
	12	178,81	25,7	38,4	44,88	-43,27	tidak terjadi bencana	tidak terjadi bencana
22/09/2017	0	181,8	18,3	40	15,14	-5,1	tidak terjadi bencana	tidak terjadi bencana
	12	177	30,7	38,5	187,3	-0,01	tidak terjadi bencana	tidak terjadi bencana
23/09/2017	0	212,01	26,6	41,9	128,31	-2,05	tidak terjadi bencana	tidak terjadi bencana
	12	134,79	30	38	15,11	-5,4	tidak terjadi bencana	tidak terjadi bencana
24/09/2017	0	184,81	33,9	41,5	283,45	0	tidak terjadi bencana	tidak terjadi bencana
	12	215,21	32,4	42,5	388,15	0	tidak terjadi bencana	tidak terjadi bencana
25/09/2017	0	228,19	38,29	45,4	347,36	0	tidak terjadi bencana	tidak terjadi bencana
	12	209,78	33,9	39,3	79,11	-0,47	tidak terjadi bencana	tidak terjadi bencana
26/09/2017	0	209,61	34,2	42,3	248,88	0	tidak terjadi bencana	tidak terjadi bencana
	12	199,4	29,2	41,7	322,23	-30,81	tidak terjadi bencana	tidak terjadi bencana
27/09/2017	0	217,59	36,8	43,9	367,72	-0,38	tidak terjadi bencana	tidak terjadi bencana
	0	222,59	36,9	43,4	22,86	-103,69	tidak terjadi bencana	tidak terjadi bencana
28/09/2017	0	190,6	32,4	42,3	43,46	-101,1	tidak terjadi bencana	tidak terjadi bencana
	12	217,19	34,3	43,8	701,38	-0,2	tidak terjadi bencana	tidak terjadi bencana
29/09/2017	0	203,38	33,3	43,8	197,58	-16,45	tidak terjadi bencana	tidak terjadi bencana
	12	203	32,6	41,6	306,81	-1,78	tidak terjadi bencana	tidak terjadi bencana
30/09/2017	0	203	37,2	44,9	665,77	0	tidak terjadi bencana	tidak terjadi bencana
	12	217,19	34,7	42,4	61,09	-3,17	tidak terjadi bencana	tidak terjadi bencana
01/10/2017	0	193,78	25,5	43,6	399,08	-0,87	tidak terjadi bencana	tidak terjadi bencana
	12	193,21	6,8	40,9	79,06	-4,57	tidak terjadi bencana	tidak terjadi bencana
02/10/2017	0	128,39	14,3	39,2	26,48	-3,66	tidak terjadi bencana	tidak terjadi bencana
	12	197,4	31,8	41,9	5,74	-3,39	tidak terjadi bencana	tidak terjadi bencana
03/10/2017	0	199,4	29,2	41,7	322,23	-30,81	tidak terjadi bencana	tidak terjadi bencana
	12	199,4	29,2	41,7	322,23	-30,81	tidak terjadi bencana	tidak terjadi bencana
04/10/2017	0	220,02	31,7	42	93,74	-9,48	tidak terjadi bencana	tidak terjadi bencana
	12	215,38	35	42,3	250,41	-1,06	tidak terjadi bencana	tidak terjadi bencana

Tanggal	Jam	Variabel Puting Beliung					Data asli	Data Prediksi
		SWEAT	KI	TT	CAPE	CIN		
05/10/2017	0	225	38,5	45	441,2	-0,28	tidak terjadi bencana	tidak terjadi bencana
	12	193,78	29,1	41,2	523,93	-1,12	tidak terjadi bencana	tidak terjadi bencana
06/10/2017	0	197,78	27,7	44,6	550,25	0	tidak terjadi bencana	tidak terjadi bencana
	12	200,81	35,7	41,4	591,59	-0,02	tidak terjadi bencana	tidak terjadi bencana
07/10/2017	0	212,01	36,7	41,4	572,92	0	terjadibencana	tidak terjadi bencana
	12	220,35	37,53	43,03	524,49	-0,01	terjadibencana	tidak terjadi bencana
08/10/2017	0	199,19	26,8	42,3	176,42	-0,51	tidak terjadi bencana	tidak terjadi bencana
	12	200,6	31,4	39	374,29	-1,25	tidak terjadi bencana	tidak terjadi bencana
09/10/2017	0	187,38	29,9	41,2	67,64	-1,95	terjadibencana	tidak terjadi bencana
	12	189,19	29,9	42,2	171,5	-6,83	terjadibencana	tidak terjadi bencana
10/10/2017	0	216,43	35,83	44,4	749,34	0	tidak terjadi bencana	tidak terjadi bencana
	12	208,38	30,2	42,7	745,26	-0,18	tidak terjadi bencana	tidak terjadi bencana
11/10/2017	0	210,81	35,8	43,2	1322,67	0	tidak terjadi bencana	tidak terjadi bencana
	12	236,19	38,94	45	1213,86	0	tidak terjadi bencana	tidak terjadi bencana
12/10/2017	0	225,99	31,7	43,2	807,08	0	tidak terjadi bencana	tidak terjadi bencana
	12	217,21	37	46	871,01	0	tidak terjadi bencana	tidak terjadi bencana
13/10/2017	0	218,99	28,7	44,8	618,77	0	tidak terjadi bencana	tidak terjadi bencana
	12	222,21	31,2	40,9	797,25	0	tidak terjadi bencana	tidak terjadi bencana
14/10/2017	0	215,41	19,7	41,4	519,04	-0,16	tidak terjadi bencana	tidak terjadi bencana
	12	212,61	31,7	36	203,15	-5,74	tidak terjadi bencana	tidak terjadi bencana
15/10/2017	0	210,6	23,9	39,2	249,16	-0,66	tidak terjadi bencana	tidak terjadi bencana
	12	205,59	34,9	43,1	339,39	-2,21	tidak terjadi bencana	tidak terjadi bencana
16/10/2017	0	207	34,7	40,7	11,54	-24,53	tidak terjadi bencana	tidak terjadi bencana
	12	199,4	29,2	41,7	322,23	-30,81	tidak terjadi bencana	tidak terjadi bencana
17/10/2017	0	207,99	36,1	42,2	135,81	-2,49	terjadibencana	tidak terjadi bencana
	12	208,58	27,2	41,3	28,21	-4,88	terjadibencana	tidak terjadi bencana
18/10/2017	0	225,2	34	41,8	134,41	-0,17	tidak terjadi bencana	tidak terjadi bencana
	12	217	36,9	42	559,62	0	tidak terjadi bencana	tidak terjadi bencana

Tanggal	Jam	Variabel Puting Beliung					Data asli	Data Prediksi
		SWEAT	KI	TT	CAPE	CIN		
19/10/2017	0	207	24,2	44,1	208,59	-0,02	tidak terjadi bencana	tidak terjadi bencana
	12	199,61	22,6	43,1	296,45	-0,72	tidak terjadi bencana	tidak terjadi bencana
20/10/2017	0	207,99	30,7	41,2	335,69	-0,65	tidak terjadi bencana	tidak terjadi bencana
	12	190,79	22,6	42,5	118,12	-3,96	tidak terjadi bencana	tidak terjadi bencana
21/10/2017	0	122,58	19,5	33,4	322,6	-5,08	tidak terjadi bencana	tidak terjadi bencana
	12	200,39	21,9	39,2	148,84	-3,79	tidak terjadi bencana	tidak terjadi bencana
22/10/2017	0	196,2	12,3	40,8	72,56	-2,27	tidak terjadi bencana	tidak terjadi bencana
	12	184,01	13,9	39	22,49	-24,66	tidak terjadi bencana	tidak terjadi bencana
23/10/2017	0	180,79	11,2	37,3	37,14	-1,87	tidak terjadi bencana	tidak terjadi bencana
	12	175	5,3	36,6	44,06	-4,84	tidak terjadi bencana	tidak terjadi bencana
24/10/2017	0	192,39	34,6	42,6	97,26	-10,43	tidak terjadi bencana	tidak terjadi bencana
	12	183,78	34,3	41,5	131,77	-13,61	tidak terjadi bencana	tidak terjadi bencana
25/10/2017	0	212,39	38,6	49,6	416,1	0	tidak terjadi bencana	tidak terjadi bencana
	12	194,6	31	37,6	76,12	-9,08	tidak terjadi bencana	tidak terjadi bencana
26/10/2017	0	207,61	36,1	41,8	79,15	-60,65	tidak terjadi bencana	tidak terjadi bencana
	12	197,4	34	42,4	79,02	-12,48	tidak terjadi bencana	tidak terjadi bencana
27/10/2017	0	202,41	38,7	46,6	79,02	-84,67	tidak terjadi bencana	tidak terjadi bencana
	12	187,78	33,5	41,1	89,23	-3,27	tidak terjadi bencana	tidak terjadi bencana
28/10/2017	0	211,4	37,1	44,5	56,02	-36,97	tidak terjadi bencana	tidak terjadi bencana
	12	204,18	37,7	44,8	69,29	-16,2	tidak terjadi bencana	tidak terjadi bencana
29/10/2017	0	219,8	37,3	43,6	213,12	0	tidak terjadi bencana	tidak terjadi bencana
	12	205,59	32,1	39,1	427,59	-0,87	tidak terjadi bencana	tidak terjadi bencana
30/10/2017	0	241,41	34,5	39,8	218,11	-0,43	tidak terjadi bencana	tidak terjadi bencana
	12	174,98	18,4	36,9	15,88	-2,63	tidak terjadi bencana	tidak terjadi bencana
31/10/2017	0	90,4	8,9	32,4	101,39	-0,28	tidak terjadi bencana	tidak terjadi bencana
	12	36,99	10,9	26	22,06	-4,46	tidak terjadi bencana	tidak terjadi bencana
01/11/2017	0	45,01	-0,1	19,2	0,53	-5,11	tidak terjadi bencana	tidak terjadi bencana
	12	199,4	29,2	41,7	322,23	-30,81	tidak terjadi bencana	tidak terjadi bencana

Tanggal	Jam	Variabel Puting Beliung					Data asli	Data Prediksi
		SWEAT	KI	TT	CAPE	CIN		
02/11/2017	0	200,98	29,1	46	249,56	-1,87	tidak terjadi bencana	tidak terjadi bencana
	12	205,21	24,9	45,8	323,44	-62,27	tidak terjadi bencana	tidak terjadi bencana
03/11/2017	0	198,39	20,1	43,4	716,09	-0,66	tidak terjadi bencana	tidak terjadi bencana
	12	199,4	29,2	41,7	322,23	-30,81	tidak terjadi bencana	tidak terjadi bencana
04/11/2017	0	226,59	33,5	42,2	636,2	-1,74	tidak terjadi bencana	tidak terjadi bencana
	12	237,61	38,9	44	569,88	-0,45	tidak terjadi bencana	tidak terjadi bencana
05/11/2017	0	195,99	35,5	44,3	161,48	-42,72	tidak terjadi bencana	tidak terjadi bencana
	12	201,59	35,5	42,6	200,04	-28,66	tidak terjadi bencana	tidak terjadi bencana
06/11/2017	0	196,6	35,8	44,1	221,28	-82,3	terjadibencana	tidak terjadi bencana
	12	195,38	37,8	44,5	383,56	-25,96	terjadibencana	tidak terjadi bencana
07/11/2017	0	197,4	38,3	47,3	381,64	-28,98	tidak terjadi bencana	tidak terjadi bencana
	12	192,58	35,1	43,1	110,52	-105,79	tidak terjadi bencana	tidak terjadi bencana
08/11/2017	0	203,61	32,9	42,2	243,24	-37,08	tidak terjadi bencana	tidak terjadi bencana
	12	193,77	36,6	43,8	28,96	-110,44	tidak terjadi bencana	tidak terjadi bencana
09/11/2017	0	191,8	34,5	40,6	327,63	-16,88	terjadibencana	tidak terjadi bencana
	12	202,39	35,8	44,4	178,52	-50,77	terjadibencana	tidak terjadi bencana
10/11/2017	0	182,39	33,6	42,5	38,98	-78,11	tidak terjadi bencana	tidak terjadi bencana
	12	202,41	35,4	41,5	345,33	-20,77	tidak terjadi bencana	tidak terjadi bencana
11/11/2017	0	206,39	29,7	41,2	332,68	-1,76	tidak terjadi bencana	tidak terjadi bencana
	12	214,41	15,7	41,4	703,57	-0,56	tidak terjadi bencana	tidak terjadi bencana
12/11/2017	0	203,8	23,6	43,9	803,39	-2,79	tidak terjadi bencana	tidak terjadi bencana
	12	163,8	31,1	37,2	472,64	-2,22	tidak terjadi bencana	tidak terjadi bencana
13/11/2017	0	180,18	33,3	38,7	101,67	-18,84	terjadibencana	terjadibencana
	12	199,4	29,2	41,7	322,23	-30,81	terjadibencana	tidak terjadi bencana
14/11/2017	0	182,81	30	43,3	0,23	-401,82	tidak terjadi bencana	tidak terjadi bencana
	12	187,59	34,9	43,5	361,01	-12,49	tidak terjadi bencana	tidak terjadi bencana
15/11/2017	0	215,61	34,4	43,4	189,65	-17,1	tidak terjadi bencana	tidak terjadi bencana
	12	200,18	32,4	39,5	228,45	-12,5	tidak terjadi bencana	tidak terjadi bencana

Tanggal	Jam	Variabel Puting Beliung					Data asli	Data Prediksi
		SWEAT	KI	TT	CAPE	CIN		
16/11/2017	0	191,21	34,3	42	235,31	-24,5	tidak terjadi bencana	tidak terjadi bencana
	12	174,8	32,4	42,5	161,62	-42,51	tidak terjadi bencana	tidak terjadi bencana
17/11/2017	0	189,79	33,6	42,7	185,98	-19,83	tidak terjadi bencana	tidak terjadi bencana
	12	207,8	34	41,5	355,56	-4,3	tidak terjadi bencana	tidak terjadi bencana
18/11/2017	0	194,81	32,9	42	162,85	-10,76	tidak terjadi bencana	tidak terjadi bencana
	12	171,8	30,2	39,3	230,9	-5,6	tidak terjadi bencana	tidak terjadi bencana
19/11/2017	0	227,4	37,9	43,4	162,73	-4,61	tidak terjadi bencana	tidak terjadi bencana
	12	207,99	34,4	41,2	126,25	-10,23	tidak terjadi bencana	tidak terjadi bencana
20/11/2017	0	210,79	31,1	43,2	74,16	-6,25	tidak terjadi bencana	tidak terjadi bencana
	12	201,39	31,6	40,1	13,65	-18,9	tidak terjadi bencana	tidak terjadi bencana
21/11/2017	0	218,81	36,4	44,7	90,88	-8	tidak terjadi bencana	tidak terjadi bencana
	12	210,18	37,1	42,4	311,19	-1,16	tidak terjadi bencana	tidak terjadi bencana
22/11/2017	0	213	36,8	43	165,11	-8,09	terjadibencana	tidak terjadi bencana
	12	199,4	29,2	41,7	322,23	-30,81	terjadibencana	tidak terjadi bencana
23/11/2017	0	199,4	29,2	41,7	322,23	-30,81	tidak terjadi bencana	tidak terjadi bencana
	12	222,02	35	43,7	248,96	-15,13	tidak terjadi bencana	tidak terjadi bencana
24/11/2017	0	228,59	37,4	43,7	386,7	-8,29	tidak terjadi bencana	tidak terjadi bencana
	12	218,82	32,9	40,5	368,97	-2,21	tidak terjadi bencana	tidak terjadi bencana
25/11/2017	0	199,4	29,2	41,7	322,23	-30,81	tidak terjadi bencana	tidak terjadi bencana
	12	252,01	36,6	41,7	56,8	-56,35	tidak terjadi bencana	tidak terjadi bencana
26/11/2017	0	235,6	33,4	40,6	15,92	-70,85	tidak terjadi bencana	tidak terjadi bencana
	12	253,61	36,3	41,6	158,94	-11,83	tidak terjadi bencana	tidak terjadi bencana
27/11/2017	0	264,01	36,9	42,1	80,38	-1,73	tidak terjadi bencana	tidak terjadi bencana
	12	228	36,1	40,6	340,75	-23,85	tidak terjadi bencana	tidak terjadi bencana
28/11/2017	0	252,39	38,3	44,1	410,92	-0,44	tidak terjadi bencana	tidak terjadi bencana
	12	208,78	33,1	40,6	48,87	-88,68	tidak terjadi bencana	tidak terjadi bencana
29/11/2017	0	257,42	36,3	43,1	210,08	0	terjadibencana	tidak terjadi bencana
	12	278,99	37,2	42,2	95,63	-72,57	terjadibencana	tidak terjadi bencana

Tanggal	Jam	Variabel Puting Beliung					Data asli	Data Prediksi
		SWEAT	KI	TT	CAPE	CIN		
30/11/2017	0	240,2	34,1	39,7	60,25	-	terjadibencana	tidak terjadi bencana
	12	245,79	38	43,4	34,31	-52,48	terjadibencana	tidak terjadi bencana
01/12/2017	0	285	33,2	37	162,95	-15,01	terjadibencana	tidak terjadi bencana
	12	199,4	29,2	41,7	322,23	-30,81	terjadibencana	tidak terjadi bencana
02/12/2017	0	240,2	16,6	35,9	57,23	-28,96	tidak terjadi bencana	tidak terjadi bencana
	12	235,99	17,5	38	1,2	-	tidak terjadi bencana	tidak terjadi bencana
03/12/2017	0	221,01	17	37,9	9,07	-203,9	tidak terjadi bencana	terjadibencana
	12	204	34,1	45,8	277,74	-41,65	tidak terjadi bencana	tidak terjadi bencana
04/12/2017	0	192,59	23,5	37,4	205,79	345,11	tidak terjadi bencana	tidak terjadi bencana
	12	202,21	24,6	38,1	3,49	-73,43	tidak terjadi bencana	tidak terjadi bencana
05/12/2017	0	178,61	23,1	36,6	36,4	-17,32	terjadibencana	tidak terjadi bencana
	12	177,38	23,8	39,5	51,14	-46,75	terjadibencana	tidak terjadi bencana
06/12/2017	0	178,98	24,8	40,9	31,49	-	tidak terjadi bencana	tidak terjadi bencana
	12	201,21	30,5	41,4	343,57	-7,02	tidak terjadi bencana	tidak terjadi bencana
07/12/2017	0	188,6	31,2	43,1	81,39	-	tidak terjadi bencana	tidak terjadi bencana
	12	202,39	36	44,1	238,4	-31,99	tidak terjadi bencana	tidak terjadi bencana
08/12/2017	0	216,41	34,7	44,4	481,31	-3,92	tidak terjadi bencana	tidak terjadi bencana
	12	204,2	36,4	43,7	319,53	-34,87	tidak terjadi bencana	tidak terjadi bencana
09/12/2017	0	209,4	37,2	45,4	577,19	-0,06	terjadibencana	tidak terjadi bencana
	12	235,81	34,1	44,4	922,53	-14,06	terjadibencana	tidak terjadi bencana
10/12/2017	0	257,79	38,9	45	450,83	-1,08	terjadibencana	tidak terjadi bencana
	12	200,21	30	41,7	381,12	-28,46	terjadibencana	tidak terjadi bencana
11/12/2017	0	226,21	37,5	43,8	577,41	-3,4	tidak terjadi bencana	tidak terjadi bencana
	12	209,38	24,9	44,4	376,04	-8,97	tidak terjadi bencana	tidak terjadi bencana
12/12/2017	0	227,81	35,8	41,3	557,41	-0,89	tidak terjadi bencana	tidak terjadi bencana
	12	190,08	32,95	41,69	114,28	-44,17	tidak terjadi bencana	tidak terjadi bencana
13/12/2017	0	196,18	36,5	41,9	202,92	-2,34	terjadibencana	tidak terjadi bencana
	12	204,98	36,7	43,8	4,56	-37,39	terjadibencana	tidak terjadi bencana

Tanggal	Jam	Variabel Puting Beliung					Data asli	Data Prediksi
		SWEAT	KI	TT	CAPE	CIN		
14/12/2017	0	187,58	36,3	44,8	188,31	-13,11	tidak terjadi bencana	tidak terjadi bencana
	12	178,2	33,8	42,3	313,82	-27,16	tidak terjadi bencana	tidak terjadi bencana
15/12/2017	0	196,58	36,8	42,5	222,8	-15,94	tidak terjadi bencana	tidak terjadi bencana
	12	209,21	36,7	43,7	435,91	-4,71	tidak terjadi bencana	tidak terjadi bencana
16/12/2017	0	195,4	34,1	42,8	30,84	-98,35	tidak terjadi bencana	tidak terjadi bencana
	12	218,58	37,1	45,9	461,5	-6,41	tidak terjadi bencana	tidak terjadi bencana
17/12/2017	0	192,39	33,7	41,5	155,37	-3,42	terjadibencana	tidak terjadi bencana
	12	216,39	35,7	44,2	188,76	-42,09	terjadibencana	tidak terjadi bencana
18/12/2017	0	245,4	34,6	43,2	119,51	-24,21	tidak terjadi bencana	tidak terjadi bencana
	12	233,22	36,7	42,2	68,55	-23,01	tidak terjadi bencana	tidak terjadi bencana
19/12/2017	0	198,01	31,6	41,1	77,01	-33,43	terjadibencana	tidak terjadi bencana
	12	216,58	36,3	42,2	121,08	-25,02	terjadibencana	tidak terjadi bencana
20/12/2017	0	189,78	32	42,7	65,99	-49,04	terjadibencana	tidak terjadi bencana
	12	207,59	35,8	42,3	277,45	-12,33	terjadibencana	tidak terjadi bencana
21/12/2017	0	210,21	33,1	38,3	134,84	-33,31	tidak terjadi bencana	tidak terjadi bencana
	12	227	34	42,6	499,35	-2,66	tidak terjadi bencana	tidak terjadi bencana
22/12/2017	0	221,22	33,8	41,2	167,35	-17,81	tidak terjadi bencana	tidak terjadi bencana
	12	212,41	12,4	43,9	54,18	-16,87	tidak terjadi bencana	tidak terjadi bencana
23/12/2017	0	199,79	11,1	39,4	103,99	-2,84	tidak terjadi bencana	tidak terjadi bencana
	12	166,8	7,1	37,4	1,9	-141,37	tidak terjadi bencana	tidak terjadi bencana
24/12/2017	0	187	29	40,3	37,26	-12,61	tidak terjadi bencana	tidak terjadi bencana
	12	76,4	18,7	31	0	0	tidak terjadi bencana	tidak terjadi bencana
25/12/2017	0	203,59	-0,6	40,7	0	0	tidak terjadi bencana	tidak terjadi bencana
	12	137,99	14,9	34,8	59,54	-27,58	tidak terjadi bencana	tidak terjadi bencana
26/12/2017	0	184,41	29,6	39,5	0,71	-99,99	tidak terjadi bencana	tidak terjadi bencana
	12	222,79	36,4	45,1	281,72	-17,81	tidak terjadi bencana	tidak terjadi bencana
27/12/2017	0	213,21	34,3	43,4	464,36	-10,26	tidak terjadi bencana	tidak terjadi bencana
	12	214,18	28,9	43,6	461,83	-18,95	tidak terjadi bencana	tidak terjadi bencana

Tanggal	Jam	Variabel Puting Beliung					Data asli	Data Prediksi
		SWEAT	KI	TT	CAPE	CIN		
28/12/2017	0	210,98	24,1	43,4	218,19	-8,69	tidak terjadi bencana	tidak terjadi bencana
	12	200,79	27,4	41,9	255,3	-18,67	tidak terjadi bencana	tidak terjadi bencana
29/12/2017	0	201,61	18	42,7	408,33	-27,64	tidak terjadi bencana	tidak terjadi bencana
	12	192,81	33,4	44,3	190,16	-35,71	tidak terjadi bencana	tidak terjadi bencana
30/12/2017	0	196,41	35,2	44,3	410,52	-15,59	tidak terjadi bencana	tidak terjadi bencana
	12	206,2	35,7	43,1	711,53	-1,58	tidak terjadi bencana	tidak terjadi bencana
31/12/2017	0	224,99	31,9	44,2	256,1	-12,02	tidak terjadi bencana	tidak terjadi bencana
	12	194,81	32	41,1	277,78	-17,54	tidak terjadi bencana	tidak terjadi bencana
01/01/2018	0	121,99	14,9	35,8	132,88	-57,03	tidak terjadi bencana	tidak terjadi bencana
	12	179	33,1	39,5	142,48	-15,42	tidak terjadi bencana	tidak terjadi bencana
02/01/2018	0	204,2	35,7	41,9	0	0	tidak terjadi bencana	tidak terjadi bencana
	12	200,6	34,4	41,7	186,33	-4,4	tidak terjadi bencana	tidak terjadi bencana
03/01/2018	0	176,4	33,5	41,5	0	0	tidak terjadi bencana	tidak terjadi bencana
	12	198,41	34,5	41,8	187,5	-30,71	tidak terjadi bencana	tidak terjadi bencana
04/01/2018	0	224,2	37,4	45,1	408,08	-14,94	tidak terjadi bencana	tidak terjadi bencana
	12	216,6	34,6	42,4	157,95	-26,79	tidak terjadi bencana	tidak terjadi bencana
05/01/2018	0	199,4	29,2	41,7	322,23	-30,81	tidak terjadi bencana	tidak terjadi bencana
	12	221,01	35,4	41,6	317,15	-14,16	tidak terjadi bencana	tidak terjadi bencana
06/01/2018	0	209,2	33,7	41,7	7,31	-74,23	tidak terjadi bencana	tidak terjadi bencana
	12	248	185,53	49	601,36	-4,55	tidak terjadi bencana	tidak terjadi bencana
07/01/2018	0	205,37	33,4	42,8	307,48	-17,51	tidak terjadi bencana	tidak terjadi bencana
	12	202,79	33,6	43,3	56,2	-106,3	tidak terjadi bencana	tidak terjadi bencana
08/01/2018	0	214,81	34,8	44,6	153,53	-123,2	tidak terjadi bencana	tidak terjadi bencana
	12	213,61	36,8	44,1	168,59	-32,26	tidak terjadi bencana	tidak terjadi bencana
09/01/2018	0	181,4	34,2	44,8	249,92	-75,51	tidak terjadi bencana	tidak terjadi bencana
	12	210,8	35	41,7	189,63	-21,09	tidak terjadi bencana	tidak terjadi bencana
10/01/2018	0	200,79	34,4	43,2	348,61	-10,85	terjadibencana	tidak terjadi bencana
	12	205,61	36,1	44,3	881,76	-2,87	terjadibencana	tidak terjadi bencana

Tanggal	Jam	Variabel Puting Beliung					Data asli	Data Prediksi
		SWEAT	KI	TT	CAPE	CIN		
11/01/2018	0	225,38	35	44,3	179,19	-58,71	tidak terjadi bencana	tidak terjadi bencana
	12	205,61	37,1	44,3	500,12	-26,27	tidak terjadi bencana	tidak terjadi bencana
12/01/2018	0	162	32,4	40,6	234,32	-123,27	tidak terjadi bencana	tidak terjadi bencana
	12	214,01	27,3	44,6	495,43	-27,62	tidak terjadi bencana	tidak terjadi bencana
13/01/2018	0	187,01	29,1	39,8	98,19	-48,44	tidak terjadi bencana	tidak terjadi bencana
	12	215,6	33,7	44,2	264,03	-43,48	tidak terjadi bencana	tidak terjadi bencana
14/01/2018	0	232,98	26,6	40,9	28,91	-110,35	tidak terjadi bencana	tidak terjadi bencana
	12	208,59	30,3	40,1	155,49	-41,49	tidak terjadi bencana	tidak terjadi bencana
15/01/2018	0	185,78	18,7	38,6	13,45	-61,06	tidak terjadi bencana	tidak terjadi bencana
	12	198,8	18,5	38,2	105,06	-57,5	tidak terjadi bencana	tidak terjadi bencana
16/01/2018	0	212,82	34,2	40,8	408,82	-22,68	tidak terjadi bencana	tidak terjadi bencana
	12	231,2	36,3	43,1	114,81	-44,41	tidak terjadi bencana	tidak terjadi bencana
17/01/2018	0	200,8	34,6	42,1	70,92	-57,64	terjadibencana	tidak terjadi bencana
	12	192,18	33,9	43,5	87,47	-86,24	terjadibencana	tidak terjadi bencana
18/01/2018	0	204,18	35,3	42,1	267,09	-31,15	tidak terjadi bencana	tidak terjadi bencana
	12	189,78	33,6	42,3	9,24	-159,99	tidak terjadi bencana	tidak terjadi bencana
19/01/2018	0	266,99	36,8	44	212,67	-20,99	tidak terjadi bencana	tidak terjadi bencana
	12	254,18	32,1	41,9	159,32	-39,18	tidak terjadi bencana	tidak terjadi bencana
20/01/2018	0	254,79	36,2	42,3	239,28	-3,63	terjadibencana	tidak terjadi bencana
	12	246,18	36,3	41,5	87,31	-54,85	terjadibencana	tidak terjadi bencana
21/01/2018	0	241,59	34,5	40,1	71,25	-52,17	terjadibencana	tidak terjadi bencana
	12	241,61	35,6	42,5	57,17	-57,67	terjadibencana	tidak terjadi bencana
22/01/2018	0	211,8	36,6	44,5	313,72	-32,6	terjadibencana	tidak terjadi bencana
	12	252,79	32,5	41,6	92,72	-23,15	terjadibencana	tidak terjadi bencana
23/01/2018	0	208,21	33,3	41,9	148,37	-7,76	terjadibencana	tidak terjadi bencana
	12	241,2	38,9	45,6	120,36	-79,56	terjadibencana	tidak terjadi bencana
24/01/2018	0	196,61	31,7	41,6	95,87	-114,43	tidak terjadi bencana	tidak terjadi bencana
	12	249,99	36,3	42,4	262,03	-33,02	tidak terjadi bencana	tidak terjadi bencana

Tanggal	Jam	Variabel Puting Beliung					Data asli	Data Prediksi
		SWEAT	KI	TT	CAPE	CIN		
25/01/2018	0	227,6	33,2	42,1	159,48	-61,88	terjadibencana	tidak terjadi bencana
	12	242,61	33,5	42,8	112,13	-79,93	terjadibencana	tidak terjadi bencana
26/01/2018	0	241,39	31,8	38,3	5,82	-79,46	terjadibencana	tidak terjadi bencana
	12	226,38	36,9	44	673,95	-37,05	terjadibencana	tidak terjadi bencana
27/01/2018	0	247,78	32,6	43,9	26,08	-203,29	tidak terjadi bencana	tidak terjadi bencana
	12	210,79	37,1	42,3	467,65	-21,98	tidak terjadi bencana	tidak terjadi bencana
28/01/2018	0	206,8	33,9	45,2	168,29	-99,62	tidak terjadi bencana	tidak terjadi bencana
	12	294	37,5	44,3	144,86	-44,01	tidak terjadi bencana	tidak terjadi bencana
29/01/2018	0	267,19	38,1	44,8	407,59	-20,13	tidak terjadi bencana	tidak terjadi bencana
	12	255,78	30,1	45,2	453,47	-4,77	tidak terjadi bencana	tidak terjadi bencana
30/01/2018	0	251,99	34,3	40,4	77,43	-28,11	tidak terjadi bencana	tidak terjadi bencana
	12	239,8	30,6	40,7	391,39	-8,22	tidak terjadi bencana	tidak terjadi bencana
31/01/2018	0	208,8	19	38,7	12,98	-37,9	terjadibencana	tidak terjadi bencana
	12	249,2	40,3	47,2	758,29	-0,32	terjadibencana	tidak terjadi bencana
01/02/2018	0	250,62	25,7	45,4	550,67	-32,49	terjadibencana	tidak terjadi bencana
	12	235,81	31,8	45,5	545,35	-16,98	terjadibencana	tidak terjadi bencana
02/02/2018	0	205,41	30,9	43,4	443,01	-47,12	tidak terjadi bencana	tidak terjadi bencana
	12	222,61	36,5	43,8	456,38	-44,95	tidak terjadi bencana	tidak terjadi bencana
03/02/2018	0	221,22	36,4	45,5	372,62	-7,76	terjadibencana	tidak terjadi bencana
	12	206,21	32,2	42,3	274,97	-72,64	terjadibencana	tidak terjadi bencana
04/02/2018	0	194,2	31,8	40,3	360,33	-16,28	tidak terjadi bencana	tidak terjadi bencana
	12	217,78	34,3	41,2	334,37	-8,8	tidak terjadi bencana	tidak terjadi bencana
05/02/2018	0	211,4	35,5	42,8	294,03	-0,22	tidak terjadi bencana	tidak terjadi bencana
	12	201	34,5	41,6	91,51	-38,41	tidak terjadi bencana	tidak terjadi bencana
06/02/2018	0	203,81	32,5	37,9	42,86	-83,91	terjadibencana	tidak terjadi bencana
	12	185,61	33,8	40,6	362,81	-7,81	terjadibencana	tidak terjadi bencana
07/02/2018	0	198,8	32,2	40,8	8,36	-45,09	terjadibencana	tidak terjadi bencana
	12	222,19	38,2	46,3	416,63	-7,28	terjadibencana	tidak terjadi bencana

Tanggal	Jam	Variabel Puting Beliung					Data asli	Data Prediksi
		SWEAT	KI	TT	CAPE	CIN		
08/02/2018	0	199,79	32	39,4	160,43	-20,6	tidak terjadi bencana	tidak terjadi bencana
	12	216	34,3	43,7	128,05	-48,67	tidak terjadi bencana	tidak terjadi bencana
09/02/2018	0	219,62	31,5	41,9	93,55	-20,1	terjadibencana	tidak terjadi bencana
	12	214,21	31,2	39,7	151,62	-10,53	terjadibencana	tidak terjadi bencana
10/02/2018	0	136,2	29,6	36,4	35,03	-64,32	terjadibencana	tidak terjadi bencana
	12	208,59	28,9	40	325,57	-11,77	terjadibencana	tidak terjadi bencana
11/02/2018	0	206,01	19,6	42,7	198,82	-23,82	tidak terjadi bencana	tidak terjadi bencana
	12	210,01	34,3	42,8	117,47	-24,63	tidak terjadi bencana	tidak terjadi bencana
12/02/2018	0	212,98	34,7	43,4	277,34	-28,68	tidak terjadi bencana	tidak terjadi bencana
	12	135,21	21,1	37	0	0	tidak terjadi bencana	tidak terjadi bencana
13/02/2018	0	216,61	32	44,5	271,01	-36,88	tidak terjadi bencana	tidak terjadi bencana
	12	219,58	32,9	42,5	81,73	-34,54	tidak terjadi bencana	tidak terjadi bencana
14/02/2018	0	229,99	34,8	45,6	132,62	-43,58	tidak terjadi bencana	tidak terjadi bencana
	12	209,22	24,4	43,1	683,25	-9,92	tidak terjadi bencana	tidak terjadi bencana
15/02/2018	0	226,01	30,9	42,1	103,86	-42,44	tidak terjadi bencana	tidak terjadi bencana
	12	199,4	29,2	41,7	322,23	-30,81	tidak terjadi bencana	tidak terjadi bencana
16/02/2018	0	214,19	28	41,1	0,02	-212,03	tidak terjadi bencana	tidak terjadi bencana
	12	199,4	29,2	41,7	322,23	-30,81	tidak terjadi bencana	tidak terjadi bencana
17/02/2018	0	235,8	15	41,5	47,16	-55,61	tidak terjadi bencana	tidak terjadi bencana
	12	199,4	29,2	41,7	322,23	-30,81	tidak terjadi bencana	tidak terjadi bencana
18/02/2018	0	210,81	23,5	42,2	26,45	-39,19	tidak terjadi bencana	tidak terjadi bencana
	12	199,4	29,2	41,7	322,23	-30,81	tidak terjadi bencana	tidak terjadi bencana
19/02/2018	0	202,6	34,1	45	296,92	-23,03	terjadibencana	tidak terjadi bencana
	12	199,4	29,2	41,7	322,23	-30,81	terjadibencana	tidak terjadi bencana
20/02/2018	0	223,39	25	41,1	0	0	tidak terjadi bencana	tidak terjadi bencana
	12	199,4	29,2	41,7	322,23	-30,81	tidak terjadi bencana	tidak terjadi bencana
21/02/2018	0	202,58	31,3	44	591,31	-3,83	tidak terjadi bencana	tidak terjadi bencana
	12	199,4	29,2	41,7	322,23	-30,81	tidak terjadi bencana	tidak terjadi bencana

Tabel 4.21 Hasil prediksi (DTr-80%, DTs-20%)

Parameter ANMBP						Hasil Prediksi			
data training (%)	data testing (%)	HL-1	HL-2	Epoch	LR	Waktu (detik)	MSE	Akurasi (%)	Terprediksi benar
80	20	30	15	3000	0,1	18923	0,0006	76,2	222
				3000	0,2	8412	0,0004	76,2	222
				3000	0,3	5722	0,0004	76,2	222
				3000	0,4	5821	0,0003	76,2	222
				369	0,5	718	0,00009	76,2	222
		50	35	46	0,1	193	0,00009	76,2	222
				1323	0,2	5201	0,00006	75,94	221
				157	0,3	618	0,00009	76,6	223
				579	0,4	21527	0,00008	76,2	222
				72	0,5	283	0,00007	75,6	220
		70	55	37	0,1	226	0,00009	76,2	222
				31	0,2	188	0,00008	76,2	222
				4	0,3	29	0,00009	76,2	222
				27	0,4	153	0,00008	76,2	222
				15	0,5	85	0,00008	76,2	222
		90	75	153	0,1	1302	0,00009	76,2	222
				13	0,2	114	0,00009	76,2	222
				18	0,3	154	0,00008	76,2	222
				76	0,4	628	0,00003	76,6	223
				45	0,5	365	0,00008	75,9	221
110	95	11	0,1	109	0,00009	76,2	222		
		10	0,2	82	0,00009	75,94	221		
		45	0,3	368	0,00008	76,2	222		
		297	0,4	2392	0,00003	76,2	222		
		133	0,5	1108	0,00005	75,94	221		

Pada Tabel 4.21 menunjukkan hasil prediksi dengan menggunakan data pelatihan sebanyak 80% (1166 data), data pelatihan sebanyak 20% (291 data), *hidden layer-1* sebanyak 30, *hidden layer-2* sebanyak 15, dan *learning rate* dari 0,1 sampai dengan 0,5, serta dapat memprediksi dengan benar sebanyak 222 data dan akurasi 76,2 % menghasilkan MSE untuk *learning rate* 0,1 adalah 0,0006 dengan membutuhkan waktu pelatihan selama 18923 detik serta *epoch* sebanyak 3000 iterasi. Untuk *learning rate* 0,2 menghasilkan nilai MSE sebesar 0,0004 dan membutuhkan waktu pelatihan selama 8412 detik serta *epoch* sebanyak 3000 iterasi. Untuk *learning rate* 0,3 menghasilkan nilai MSE sebesar 0,0004 dan

membutuhkan waktu pelatihan selama 5722 detik serta *epoch* sebanyak 3000 iterasi.

Untuk *learning rate* 0,4 menghasilkan nilai MSE sebesar 0,0003 dan membutuhkan waktu pelatihan selama 5821 detik serta *epoch* sebanyak 3000 iterasi. Untuk *learning rate* 0,5 menghasilkan nilai MSE sebesar 0,00009 dan membutuhkan waktu pelatihan selama 718 detik serta *epoch* sebanyak 369 iterasi. Dengan analisa yang sama didapatkan pada hidden layer-1 sebanyak 30, hidden layer-2 sebanyak 15, yang memiliki nilai akurasi terbaik dan MSE terkecil yaitu 76,2 % dan 0,00009 adalah dengan menggunakan learning rate 0,5 dengan jumlah kejadian terprediksi benar sebanyak 222 kejadian dari 291 kejadian. Pada hidden layer-1 sebanyak 50, hidden layer-2 sebanyak 35, yang memiliki nilai akurasi terbaik dan MSE terkecil yaitu 76,6 % dan 0,00009 adalah dengan menggunakan learning rate 0,3 dengan jumlah kejadian terprediksi benar sebanyak 223 kejadian dari 291 kejadian.

Pada hidden layer-1 sebanyak 70, hidden layer-2 sebanyak 55, yang memiliki nilai akurasi terbaik dan MSE terkecil yaitu 76,2 % dan 0,00008 adalah dengan menggunakan learning rate 0,5 dengan jumlah kejadian terprediksi benar sebanyak 222 kejadian dari 291 kejadian. Pada hidden layer-1 sebanyak 90, hidden layer-2 sebanyak 75, yang memiliki nilai akurasi terbaik dan MSE terkecil yaitu 76,6 % dan 0,00003 adalah dengan menggunakan learning rate 0,4 dengan jumlah kejadian terprediksi benar sebanyak 223 kejadian dari 291 kejadian. Pada hidden layer-1 sebanyak 110, hidden layer-2 sebanyak 95, yang memiliki nilai akurasi terbaik dan MSE terkecil yaitu 76,2 % dan 0,00003 adalah dengan menggunakan

- Prasetyo, E. (2014). *Data Mining - Mengolah Data Menjadi Informasi Menggunakan Matlab*. Yogyakarta: ANDI Yogyakarta.
- Puspitasari, E., Mukid, M. A., & Sudarno. (2014). Perbandingan Analisis Faktor Klasik dan Analisis Faktor Robust untuk Data Inflasi Kelompok Bahan Makanan di Jawa Tengah. *Jurnal GAUSSIAN, Vol 3, Nomor 3*, 343-352.
- Putra, I. M., Gandhiadi, G. K., & Harini, L. P. (2016). Implementasi Backpropagation Neural Network Dalam Prakiraan Cuaca di Daerah Bali Selatan. *E-Jurnal Matematika*, 126-132.
- Putra, S. F., Pradina, R., & Hafidz, I. (2016). Feature Selection pada Dataset Faktor Kesiapan Bencana pada Provinsi di Indonesia Menggunakan Metode PCA (Principal Component Analysis). *Jurnal Teknik ITS Vol.5, No. 2*, 88-92.
- Rahayu, G., & Mustakim. (2017). Principal Component Analysis untuk Dimensi Reduksi Data Clustering Sebagai Pemetaan Persentase Sertifikasi Guru di Indonesia. *Seminar Nasional Teknologi Informasi, Komunikasi dan Industri* (pp. 201-208). Pekanbaru: UIN Sultan Syarif Kasim Riau.
- Rini, D. C., Farida, Y., & Puspitasari, D. (2016). Klasifikasi Menggunakan Metode Hybrid Bayessian-Neural Network (Studi Kasus: Identifikasi Virus Komputer). *Jurnal Matematika "MANTIK", Vol. 01*, 38-43.
- Siang, J. J. (2005). *Jaringan Syaraf Tiruan & Pemrogramannya Menggunakan MATLAB*. Yogyakarta: ANDI OFFSET.
- Suprpto, Nurmasari, R., & Rosida, A. (2016). *Data Bencana Indonesia 2015*. Jakarta: Pusat Data, Informasi dan Humas Badan Nasional Penanggulangan Bencana.
- Suryatmojo, H. (2017, Maret 23). *Bencana Hidrometeorologi*. Retrieved from Konservasi DAS: <http://konservasidas.fkt.ugm.ac.id>
- Werdiningsih, I. (2014). Transformasi Wavelet dan Adaptive Neighborhood Based Modified backpropagation (ANMBP) untuk Klasifikasi Data Mammogram. *SCAN Vol. IX*, 15-21.
- Widarjono, A. (2010). *Analisis Statistika Multivariat Terapan*. Yogyakarta: Unit Penerbit dan Percetakan Sekolah Tinggi Ilmu Manajemen YKPN.
- Wulandari, D., Prahasto, T., & Gunawan, V. (2016). Penerapan Principal Component Analysis untuk Mereduksi Dimensi Data Penerapan Teknologi Informasi dan Komunikasi untuk Pendidikan di Sekolah. *Jurnal Sistem Informasi Bisnis*, 91-96.